

加速途中の中性子放出

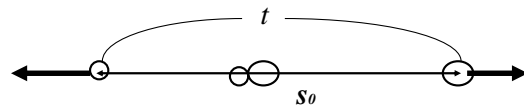
断裂後の時間と分裂片運動エネルギーとの関係
(Eismont)

$$t = \left(\frac{s_0}{v_k} \right) \left[\frac{\sqrt{x}}{1-x} + \frac{1}{2} \ln \frac{1+\sqrt{x}}{1-\sqrt{x}} \right]$$

$x = E/E_k$ E_k =核分裂片最終運動エネルギー

s_0 = 荷電中心間距離

v_k = 最終速度 = $[2\{(M-m)Mm\} \cdot 1.44(Z-z)z/s_0]^{1/2}$



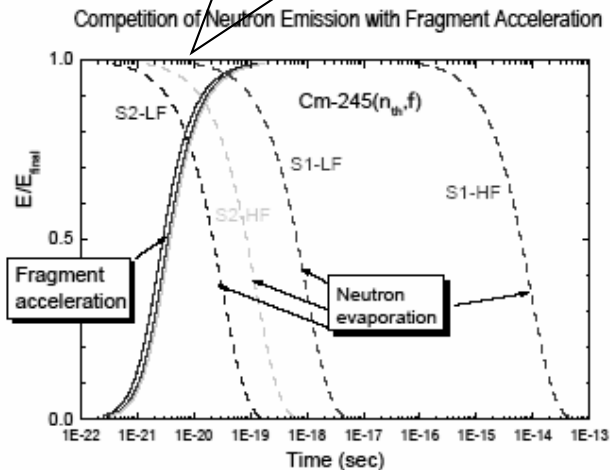
励起分裂片からの中性子放出

励起エネルギー U , 結合エネルギー B_n の励起核からの中性子放出時間
(Ericson)

$$\tau = \frac{2A^{1/3}}{U - B_n} \exp(B_n / T) \cdot 10^{-21} \text{ (s)}$$

$$t < \tau ?$$

Standard-2では加速途中の
中性子放出がありうる



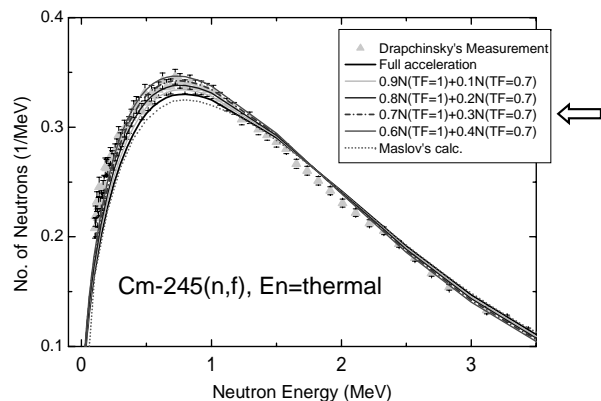
2つのパラメータを定義:

NEDA factor: 加速途中の中性子放出が
おこる割合

TF (Timing Factor): 核分裂片が最終エネルギー
の何%に達した時に中性子
放出がおこるかを表す因子

NEDA = Neutron Emission During Acceleration

パラメータ・サーチの結果:
 実験値を説明するためには、
 $NEDA=0.3$ 、 $TF=0.7$ を仮定することが必要



重アクチニドほどNEDAが起こり
 やすいのは？

1. 重アクチニドほど TXE 大:

$$E_R = 0.2197(Z^2/A^{1/3}) - 114.37$$

$$TKE_{Viola} = 0.1189(Z^2/A^{1/3}) + 7.3$$

$$TXE = E_R - TKE + B_n + E_n$$

$$= 0.1008(Z^2/A^{1/3}) - 121.67 + B_n + E_n$$

$Z^2/A^{1/3}$ 大 : TXE 大

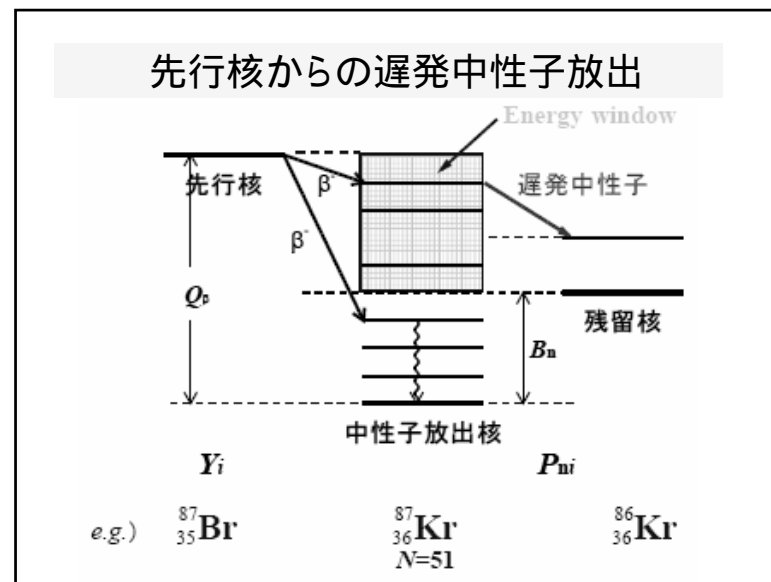
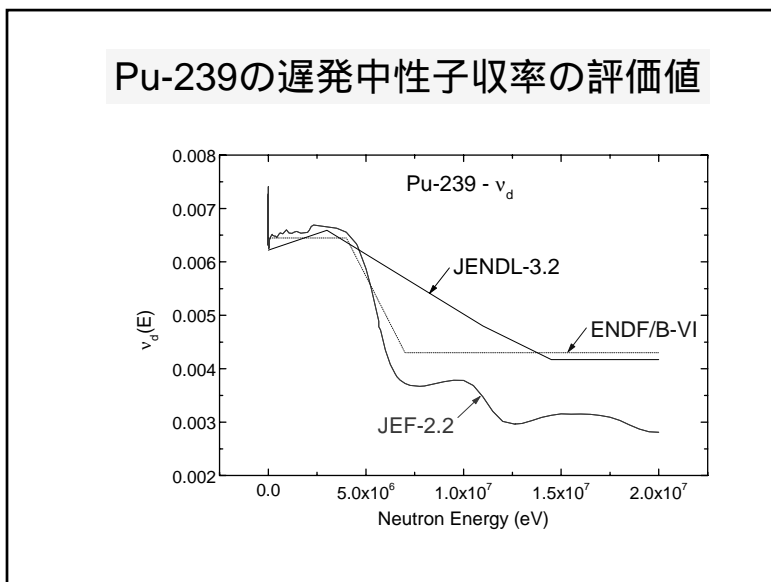
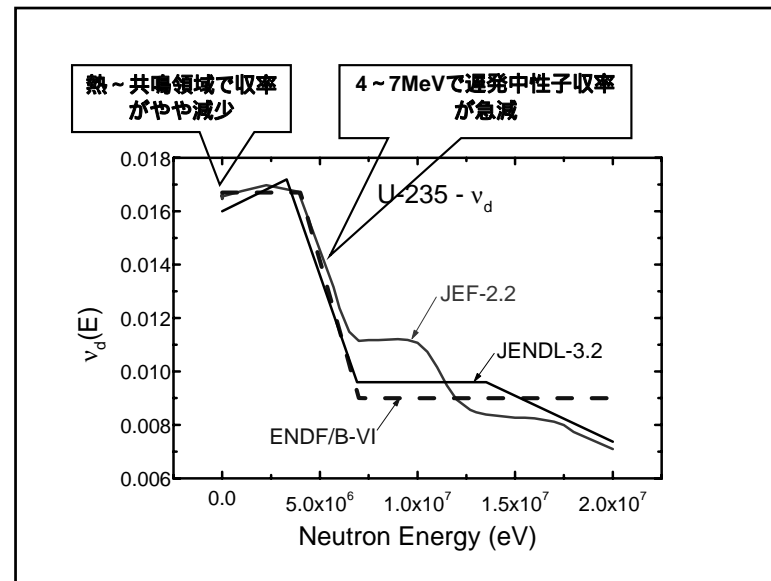
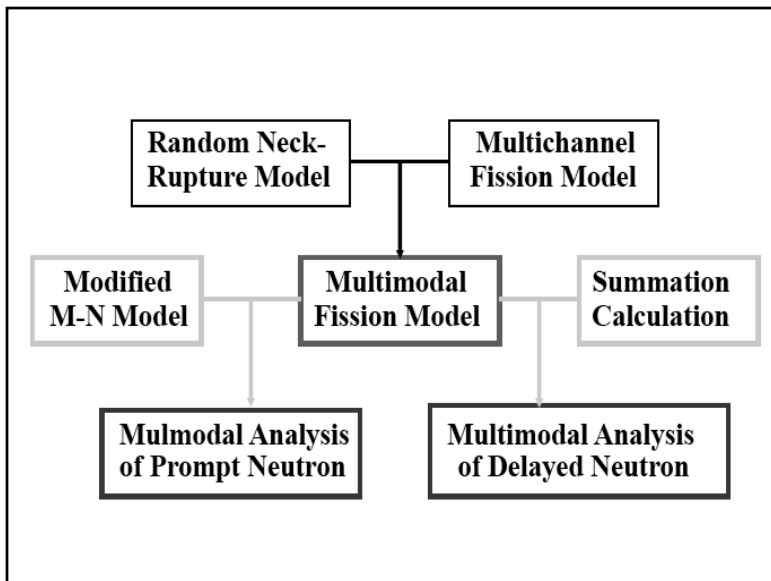
2. Z^2/A 大で TKEの分散大、したがって
 TXEの分散大

↓
 平均励起エネルギーより10MeV以上高いTXE
 をもつFFが10%以上存在する

↓
 Z^2/A 大: t 小

マルチモード核分裂モデルの応用(2)

遅発中性子収率データ
 の理論評価



総和法による遅発中性子収率の計算

$$\nu_d = \sum_i Y_i \cdot Pn_i$$

先行核の核分裂収率

先行核の遅発中性子放出確率

- Five-Gaussian公式
1次FF 2次FP収率
- 荷電分布
- 偶奇効果

- P_nデータセット
- A.C.Wahl (271核種)
- Kratz-Herrmann
- アイソマ生成比

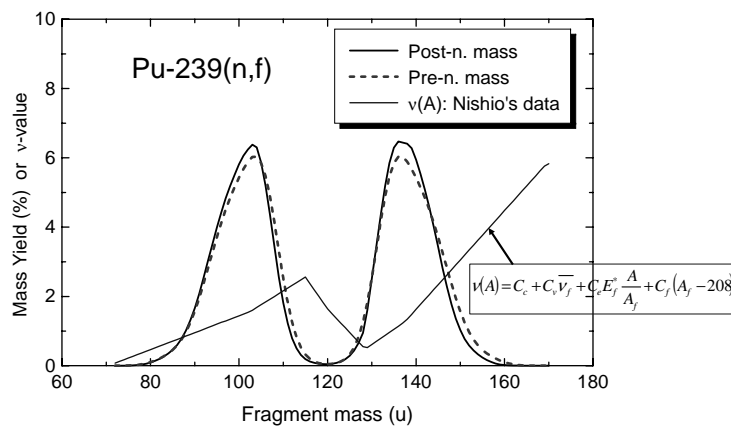
中性子放出前収率から放出後収率への変換

$$\sum_0^{A_0} M(A) = \sum_0^{A_0+\nu(A_0+\nu+1/2)} FY(A) + (dFY/dA) \frac{\langle \sigma^2(\nu_f; A) \rangle}{2} + \dots$$

$$\nu^*(A) = \nu(A + \nu + 1/2)$$

$$M(A) = (1 + \nu_0^* - \nu_{-1}^*) FY \left(A - \frac{\nu_0^*}{2} + \frac{\nu_{-1}^*}{2} - \frac{1}{2} \right) + \left[\left(\frac{dFY}{dA} \right)_0 - \left(\frac{dFY}{dA} \right)_{-1} \right] \frac{\langle \sigma^2(\nu_f; A) \rangle}{2} + \dots$$

中性子放出前収率と放出後収率の比較



核分裂片の荷電分布

$$Y_C = C_0 \exp[-(Z - Z_p)^2 / \sigma_Z^2]$$

最確電荷

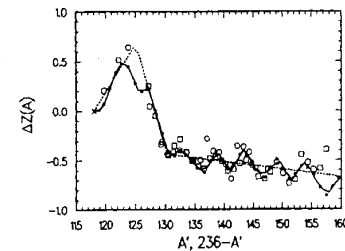
$$\sigma_Z = 0.56$$

$$Z_p = Z_{UCD} \pm \delta Z$$

(+ for LF, - for HF)

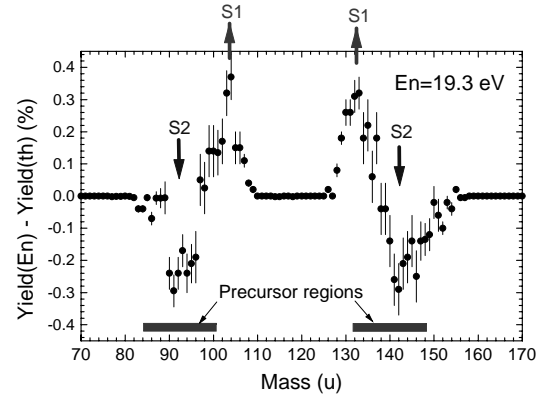
UCD=Unchanged Charge Distribution

$$\frac{Z_C}{A_C} = \frac{Z_L}{A_L} = \frac{Z_H}{A_H}$$

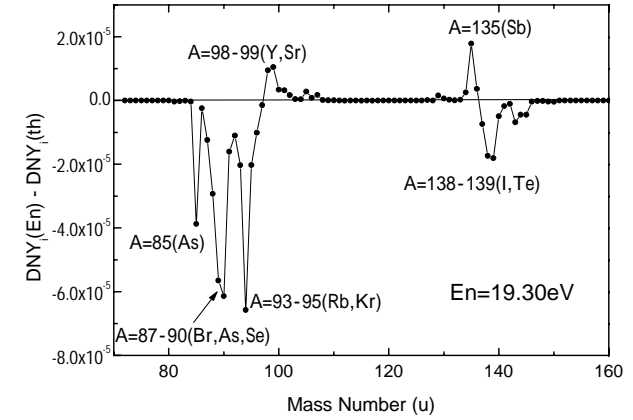


共鳴領域における核分裂収率の揺らぎ

U-235の共鳴

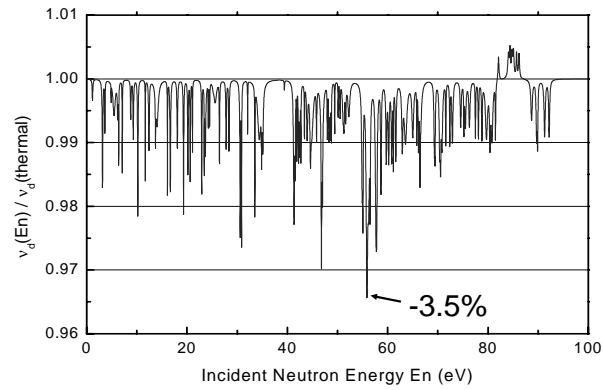


U-235の共鳴における遅発中性子収率の揺らぎ

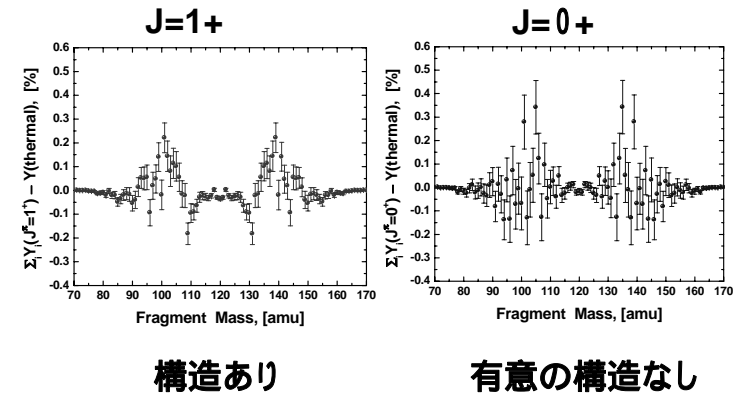


U-235の共鳴領域における核分裂収率の揺らぎ

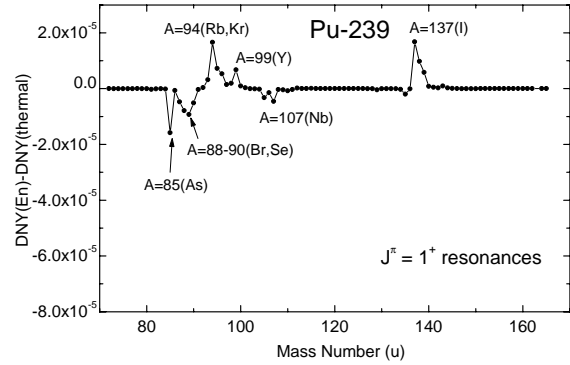
Energy-dependence of DNY in the resonance region of U-235



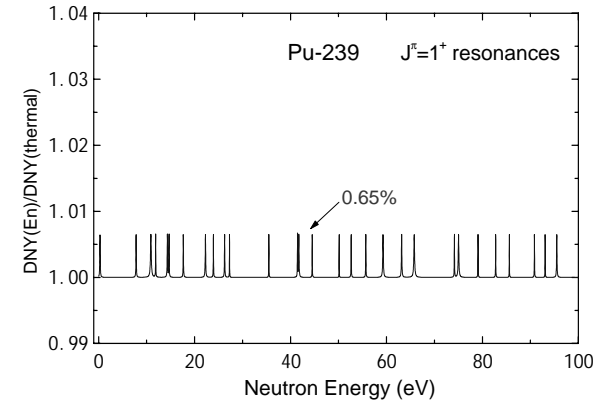
Pu-239の共鳴領域における核分裂収率の揺らぎ



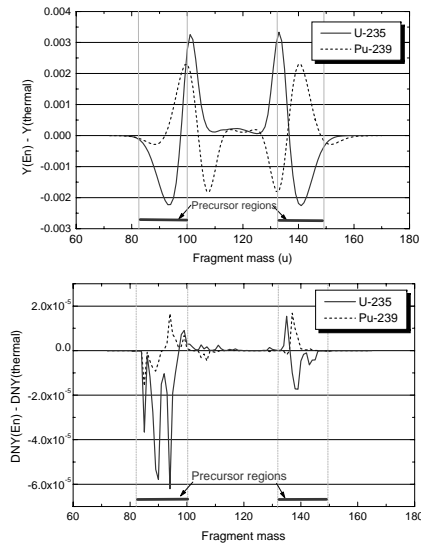
共鳴領域における遅発中性子収率の揺らぎ



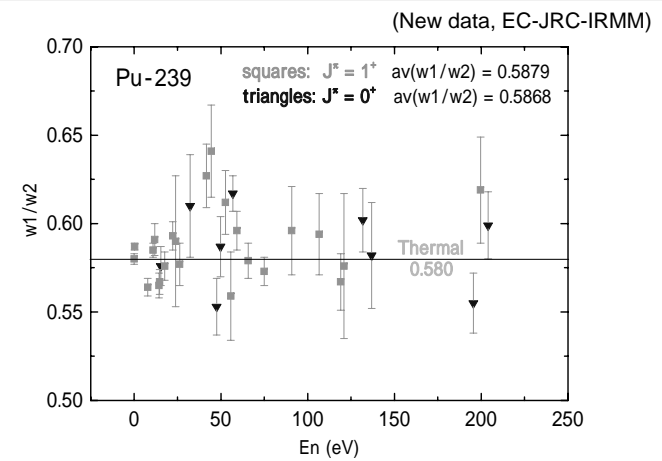
共鳴領域における遅発中性子収率の揺らぎ



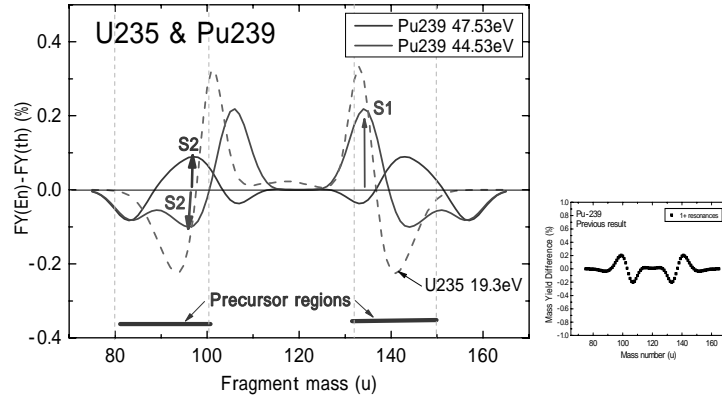
U-235とPu-239の比較



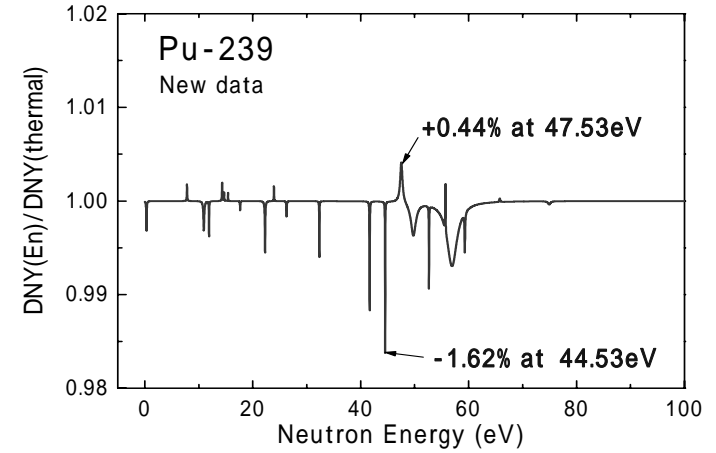
Fluctuation of w_1/w_2 in the resolved resonance region of Pu-239



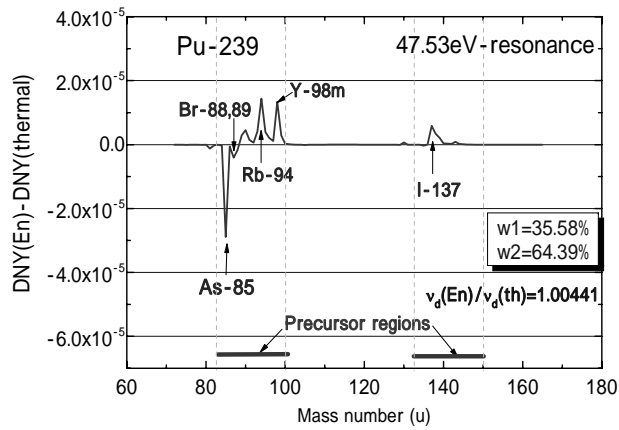
Fluctuation in the FY in the resonance region of Pu-239 & U-235



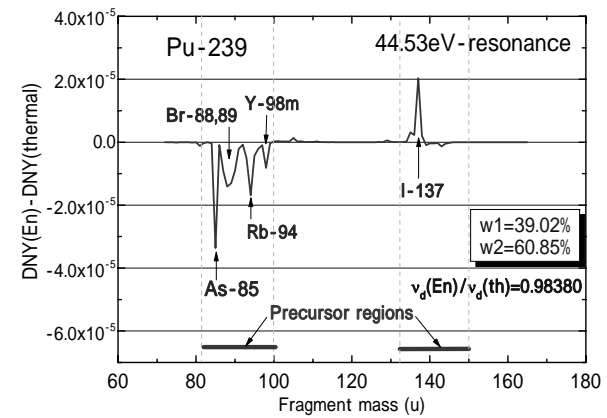
Fluctuation in the DNY in the resonance region of Pu-239



Fluctuation in the DNY as a function of precursor mass



Fluctuation in the DNY as a function of precursor mass



Conclusion

1. Calculation of the DNY in the resolved resonance region below 200eV on the basis of mode branching ratios at individual resonances obtained at IRMM revealed that
--- *peaks* appear at resonances with $w_2 > w_{2 \text{ thermal}}$, the largest peak amounting to +0.44%,
while
--- *dips* appear at resonances with $w_2 < w_{2 \text{ thermal}}$, the deepest dip to -1.62%.

2. The absolute value of the DNY at 0.0253eV :

- the present calculation : $\nu_d = 5.84 \times 10^{-3}$
(using A.C.Wahl's data for P_{n_i})
- the evaluated value : $\nu_d = 6.22 \times 10^{-3}$
(JENDL-3.3)

The discrepancy of 6% is due to ambiguities

- in the fission yield (Y_i), and
- in the DN-emission probabilities (P_{n_i}) for the precursors.

CONCLUSION

Fluctuation in mode branching ratios at resonances

Summation method of DNY-analysis

Fluctuation in the DNY in the resonance region
U235: $w(S1) \nearrow$, $w(S2) \searrow$ \Rightarrow Dips of -3.5%(max)
Pu239: fluctuation in $w(S1)$ & $w(S2)$
 \Rightarrow Fluctuation of -1.65 to +0.44%

Possible interpretation of energy-dependence in the DNY in thermal and resonance region.